

浮体の有限振幅運動と非線形抗力について

滝川清*・田渕幹修**

1. はじめに

浮遊式海洋構造物の設計に際しては、作用する流体力浮体の運動および波の変形等を正しく評価せねばならない。ことに、浮体運動の共振点近傍では、浮体と流体との相互運動の有限振幅性を考慮することが重要であるが従来、これに関する十分な実験や解析による研究は見受けられず、微小振幅波による浮体の微小な運動を仮定した研究が多数である。ここに、本研究は、著者らが示した有限要素法による浮体の有限振幅運動系の解析方法¹⁾を利用して、これに粘性に起因する非線形抗力項を導入²⁾した解析を行い、実験結果との比較を加えて、浮体と波との有限振幅運動特性と非線形抗力の効果を調べるものであり、若干の検討を行ったのでここに報告する。

2. 有限要素法による波と浮体の相互運動系の解析

浮体運動に対する従来の解析方法は2つに大別され、その1つは、作用波力をモリソン公式により評価し簡単な形式の浮体運動方程式のみを解く方法。また1つは、回折理論による扱いである。しかし、前者では抗力係数や質量係数を与える必要があり、係数の決定方法にはまだ不明な点が多く、また後者では完全流体を対象とするが、粘性に起因する抗力項が無視され浮体運動を過大評価する欠点がある。この回折理論に非線形形抗力項を導入する方法（渡辺、1972²⁾も見受けられるが、これ等従来の方法は、波および浮体の微小運動を前提としたものであり運動系の有限振幅性の効果を議論し得るものではない。

本研究における有限要素法による解析方法は、浮体没水表面での速度ポテンシャルを未知な浮体の有限変位量の関数として表現し、これに浮体運動の条件と没水表面の幾何学的条件とを同時に満足する解を逐次求めて行く非定常な連成運動系としての解析手法であり、流体運動と浮体運動を同時に解くので付加質量や減衰力を別に算定しておく必要はない。流体運動のこの解析手法につい

ては、すでに文献 1), 3) に示しているが、以下にはその概略を説明し、記号等は、これ等の文献を参照されたい。

2.1 有限振幅運動系の解析

(a) 流体運動の解析

図-1 に示す浅海域に係留または浮遊した任意形状浮体を考える。浮体運動に関し粘性に起因した抗力は考えるが、流体運動は速度ポテンシャル $\phi(x, y, t)$ を有するものとして取り扱う。

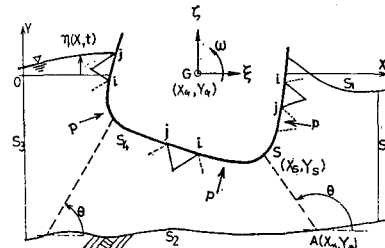


図-1 解析領域

境界面は、自由表面 S_1 、不透過境界 S_2 、仮想境界 S_3 および浮体没水表面 S_4 より構成され、流体の運動は変動領域 $V(\eta)$ でラプラス式を満す境界値問題である。変分原理から次式の汎関数 χ を停留にする条件より全ての条件式を得ることができる。

$$\begin{aligned} \chi = & \frac{1}{2} \iint_{V(\eta)} \left\{ \left(\frac{\partial \phi}{\partial x} \right)^2 + \left(\frac{\partial \phi}{\partial y} \right)^2 \right\} dV \\ & + \frac{g}{2} \int_{S_1} \eta^2 dS_1 + \int_{S_1} \left(\frac{\partial \phi}{\partial t} \right) \eta \, dx \\ & - \int_{S_1} \left(\frac{\partial \eta}{\partial t} \right) \phi \, dx - \int_{S_3} \left(\frac{\partial \bar{\phi}}{\partial n} \right) \phi \, dS_3 \\ & - \int_{S_4} \left(\frac{\partial \phi'}{\partial n} \right) \phi \, dS_4 \dots \dots \dots \quad (1) \end{aligned}$$

ここに、 $\bar{\phi}$ は解析領域外部の速度ポテンシャル、 $\partial\phi'/\partial n$ は浮体沿水面の法線方向速度を意味する。

いま、解析領域を三角形要素群に分割し、1つの要素内の ϕ をその節点値 ϕ で表現する。

$$\phi = [N]\phi, \quad \frac{\partial \phi}{\partial x} = B^T \phi, \quad \frac{\partial \phi}{\partial y} = C^T \phi \quad \dots \dots \quad (2)$$

境界 $S_1 \sim S_4$ での諸量は、各境上の 2 節点で表現する

* 正会員 工博 熊本大学講師 工学部土木工学科

** 正会員 熊本大学講師 工学部環境建設工学科

留(cross-spring)している。計算に際しての要素分割状況は、水平方向に $L/20$ (L は入射波波長) のきぎみ幅で、浮体の前後にそれぞれ 30 分割、また水深方向には水深 h を 10 分割とした。また、粘性抗力項を考慮した解析の際には、抗力係数 $C_{Dx}=C_{DV}\equiv C_D$ として計算を行った。

図-3, 4 は浮体の鉛直および水平運動の振幅を入射波振幅 a で無次元化した ζ/a および ξ/a を $\sigma^2 h/g$ に対し示したものである。図中の実線は本法の微小振幅運動系の解析結果 ($C_D=0$) である。実験結果は H/L (H : 入射波波高, L : 入射波波長) をパラメータにプロットした。 H/L が 0.007 以下の場合、鉛直変位 $2\zeta/L$ の値は 0.0017 以下であり、このように H/L および浮体運動も小さい時は微小振幅系の解析でも十分一致することが分る。一方、 H/L が大となると ζ/a , ξ/a ともに低減する。このような H/L の増加により ζ/a が減少する傾向は、従来、粘性に起因するエネルギー散逸によると考えられているものである。しかし、文献 1) に述べた浮体強制運動による造波率に関する実験および計算結果では、鉛直強制運動振幅比 $2\zeta/L$ が約 0.02 以上となると造波率が増大して非線形となる事を示しているが、これ

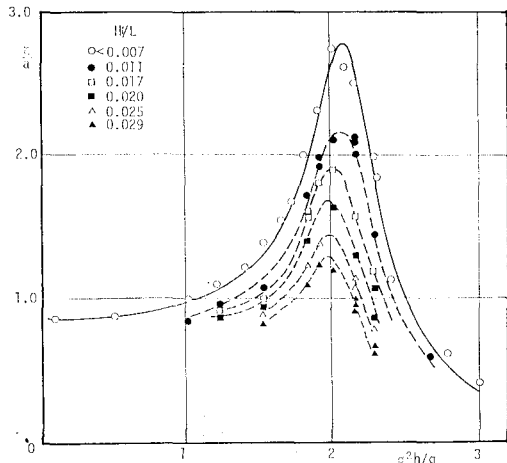


図-3 有限振幅波による鉛直運動(実験)

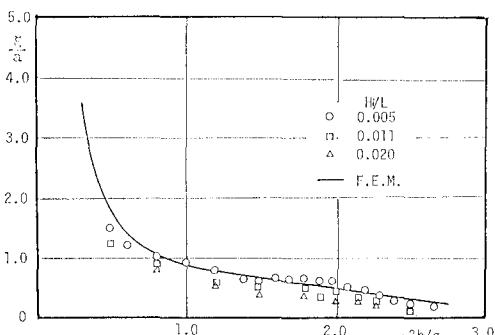


図-4 有限振幅波による水平運動(実験)

は波による浮体運動を考える場合には、有限振幅運動の効果として浮体運動の低減を意味するものである。以下では、主に鉛直運動に注目し、運動振幅比の低減に関する粘性による抗力と有限振幅運動効果について述べる。

図-5 は、本法の微小振幅運動系の解析方法を用いて計算したもので鉛直運動振幅比 ζ/a を示したものである。抗力係数 $C_D=2.0$ としている。入射波波形勾配 H/L の増加と対応して ζ/a が低減している状況が計算されているが、実験結果に比べ低減の割合が小さく、これを一致させる為には更に大きな抗力係数を用いねばならない。図-6 は図-5 と同様の計算であるが、 $\sigma^2 h/g = 2.0$ で H/L の増加に対する鉛直運動量比 ζ/ζ_0 (ζ_0 は $C_D=0$ とした時の微小振幅運動解析結果で $\zeta_0/a=2.66$) および波エネルギー $\sqrt{K_r^2+K_t^2}$ を示している。ここに、 K_r : 反射率, K_t : 通過率であり、実験での K_r , K_t は浮体近傍で波が不規則に変動する為、合田・鈴木の定義による不規則波反射率を用いた。 $1-\sqrt{K_r^2+K_t^2}$ が浮体運動によるエネルギー損失を意味する。 H/L の増加に

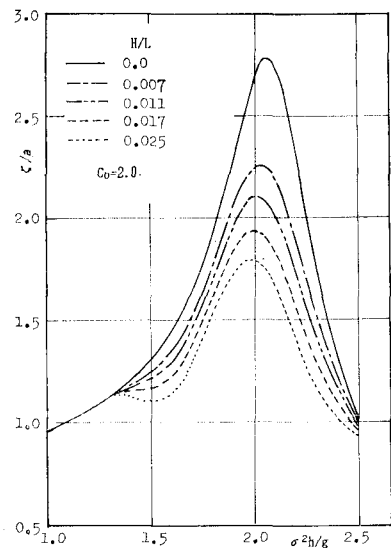


図-5 鉛直運動(微小振幅解析)

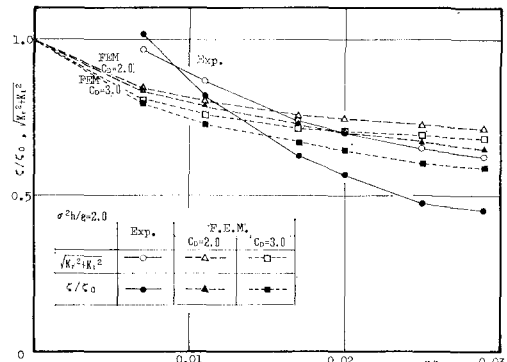


図-6 鉛直運動の低減と波エネルギーの損失

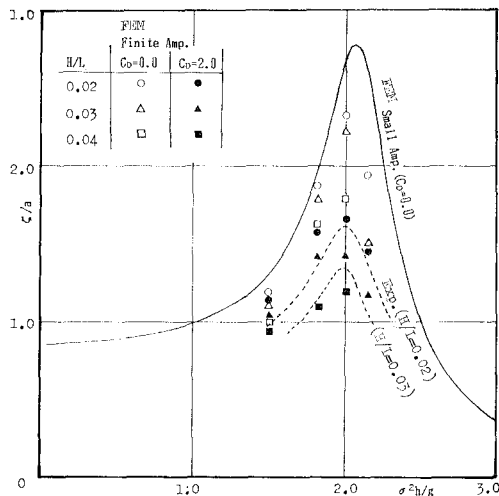


図-7 鉛直運動（有限振幅解析）

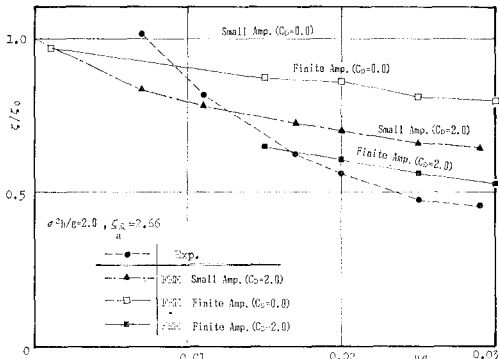


図-8 鉛直運動の低減と有限振幅運動

併し、この損失量と対応して ζ/a_0 が低減している事が分る。微小振幅運動解析で $C_D=2.0$, $C_D=3.0$ とするときと損失エネルギーは、ほぼ実験結果と一致するが、 ζ/a_0 は実験値ほど減少せず、これと一致させる為には更に大きな C_D の値を用いる必要がある。この事は、浮体運動解析で、従来の微小振幅運動を仮定し運動の低減のみを合致させる取り扱いでは、このように運動量が大となる場合には不合理である事を意味する。

図-7 は、本法の有限振幅運動系の解析結果である。 H/L に対して抗力項を考慮しない場合 ($C_D=0$) と考慮した場合 ($C_D=2.0$) について鉛直運動振幅比 ζ/a を図示したものである。また、図-8 は、 $\sigma^2 h/g=2.0$ での H/L の変化に対する鉛直運動量比 ζ/a を図示し、実験結果および微小振幅と有限振幅運動解析結果をプロットしている。有限振幅運動解析を行うと、粘性による抗力項を導入しない時 ($C_D=0$) でも運動比の低減が計算され、これが相互運動の有限振幅効果によるものと解釈される。また、これに抗力項を導入し $C_D=2.0$ として計算すると、実験結果とほぼ一致するようになり、微小振

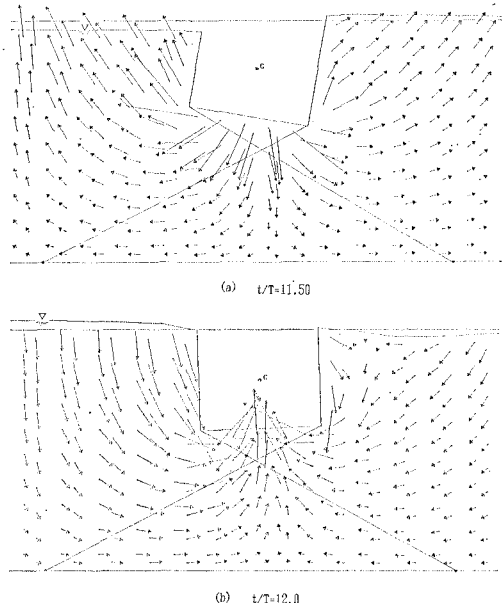


図-9 浮体運動と流速分布（有限振幅解析）

幅運動解析では説明できない運動振幅比の減少を示すことができる。

図-9 は、 $\sigma^2 h/g=2.0$, $H/L=0.03$, $C_D=0$ での時間位相による浮体近傍の流速分布を描いたものである。浮体運動が小さい場合、浮体および周辺の水面変動は正弦的に変動するが、図で示すような運動が大となる場合には水面変動および浮体運動も有限振幅性が出現し、浮体周辺の流況も偶角部を中心にまき込みが顕著になるが計算は、これ等の状況を良く示していると思われる。

4. あとがき

本研究は、有限要素法を用いて、浮体運動を波と浮体との相互運動系とする解析を行い、特に、浮体運動の共振点近傍での運動特性について調べたものである。入射波の波形勾配が大となり浮体運動も大きくなると、浮体運動の振幅比は低減するが、これが粘性に起因する抗力のみでは説明できず、相互運動の有限振幅性による低減を含むことを明らかにした。なお、この粘性に起因する抗力係数は、波の周期・波高によって変化する事が考えられるが、今後ともこれに関する詳細な検討を行う必要がある。

参考文献

- 1) 滝川清・田淵幹修：有限要素法による波動解析について——運動する境界面を有する場合、第27回海岸工学講演会論文集、pp. 1~5、1980。
- 2) 渡辺晃：波による円筒形浮体の運動、第25回海岸工学講演会論文集、pp. 377~381、1978。
- 3) 滝川清・岩垣雄一・中川政博：有限要素法による斜面上の波の碎波変形と内部機構の解析、第30回海岸工学講演会論文集、pp. 20~24、1983。